

Ferramentas Analíticas do
Desenvolvimento de Sistemas
Nano-Estruturados

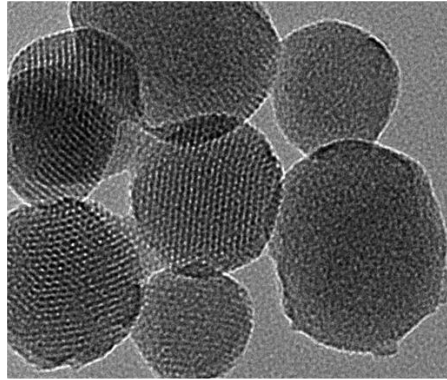
Prof. Dr. Gabriel Lima Barros de Araujo
Faculdade de Ciências Farmacêuticas - USP



USP



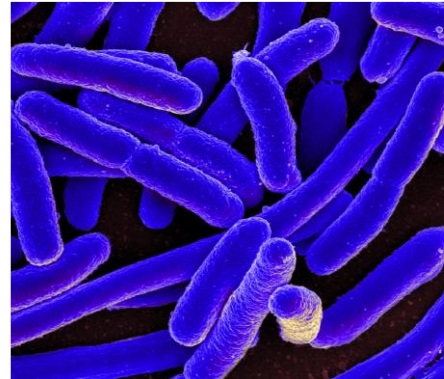
Nano



1-100 nm

Nanotecnologia

Micro



2000 nm
(E.coli)

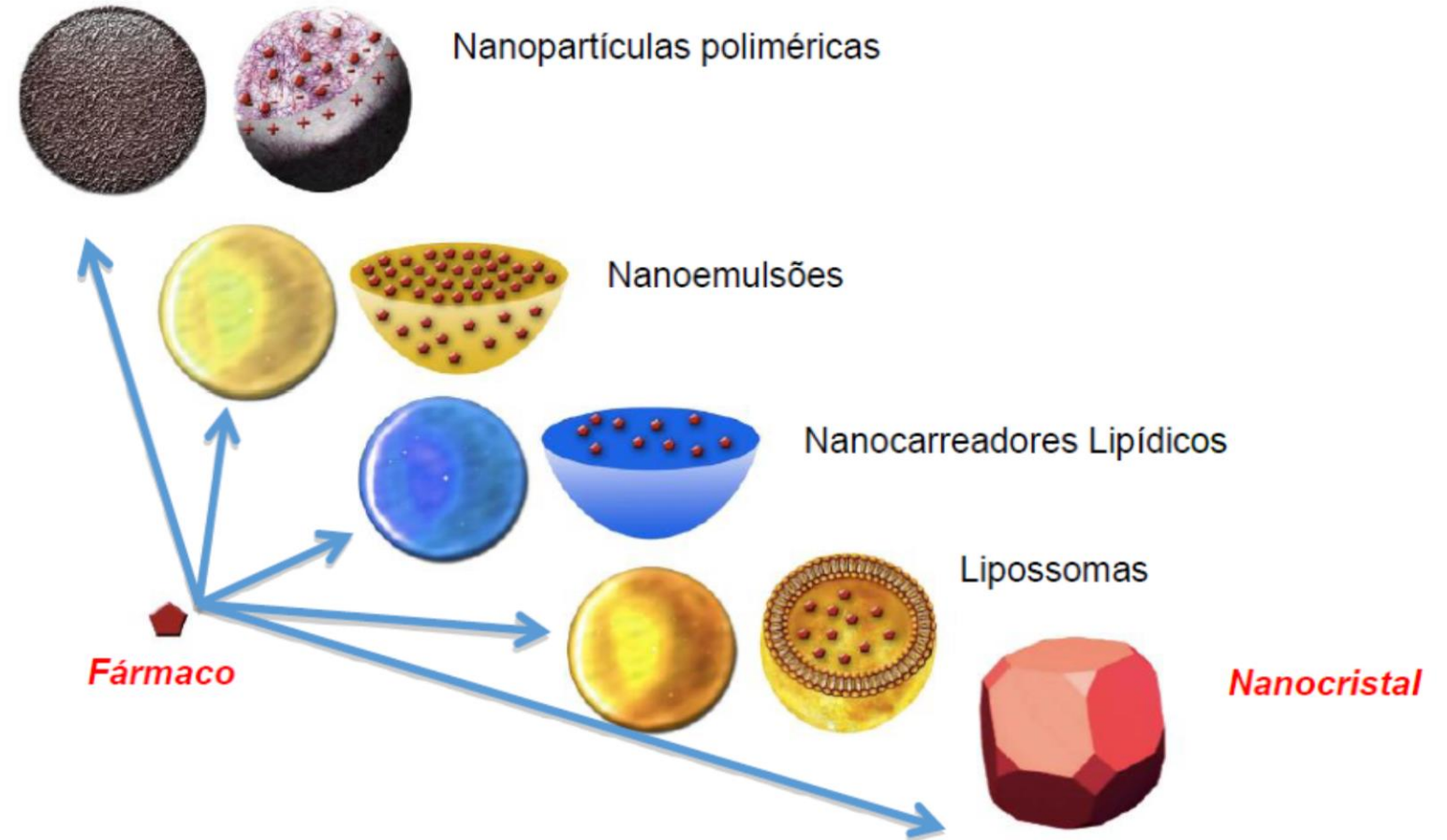
Macro



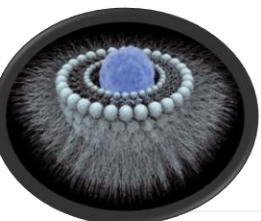
5 milhões nm



**Nanotecnologia
Farmacêutica
(< 1000 nm)**



Fonte: Compri, Jéssica de Cássia Zaghi. Nanocristais de ácido orótico: preparação e caracterização físico-química [dissertação]. São Paulo: Universidade de São Paulo, Faculdade de Ciências Farmacêuticas; 2015 [citado 2019-09-05]. doi:10.11606/D.9.2016.tde-30032016-143022.



1995

Doxil®

Cloridrato de Doxirrubicina
Lipossomo Metoxipeguilado

FDA-AIDS-related KS,
multiple myeloma,
ovarian cancer (IV)



2002

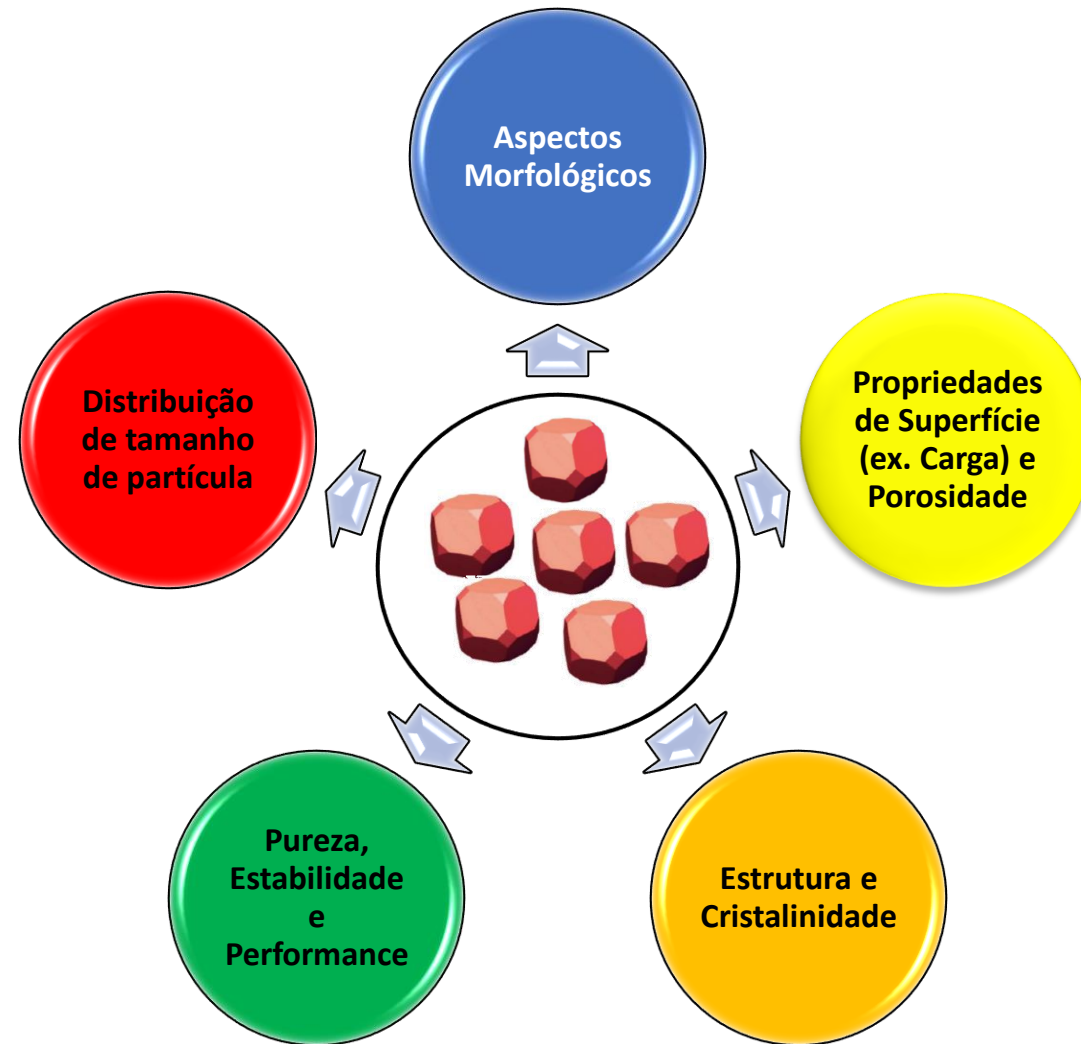
Rapamune®

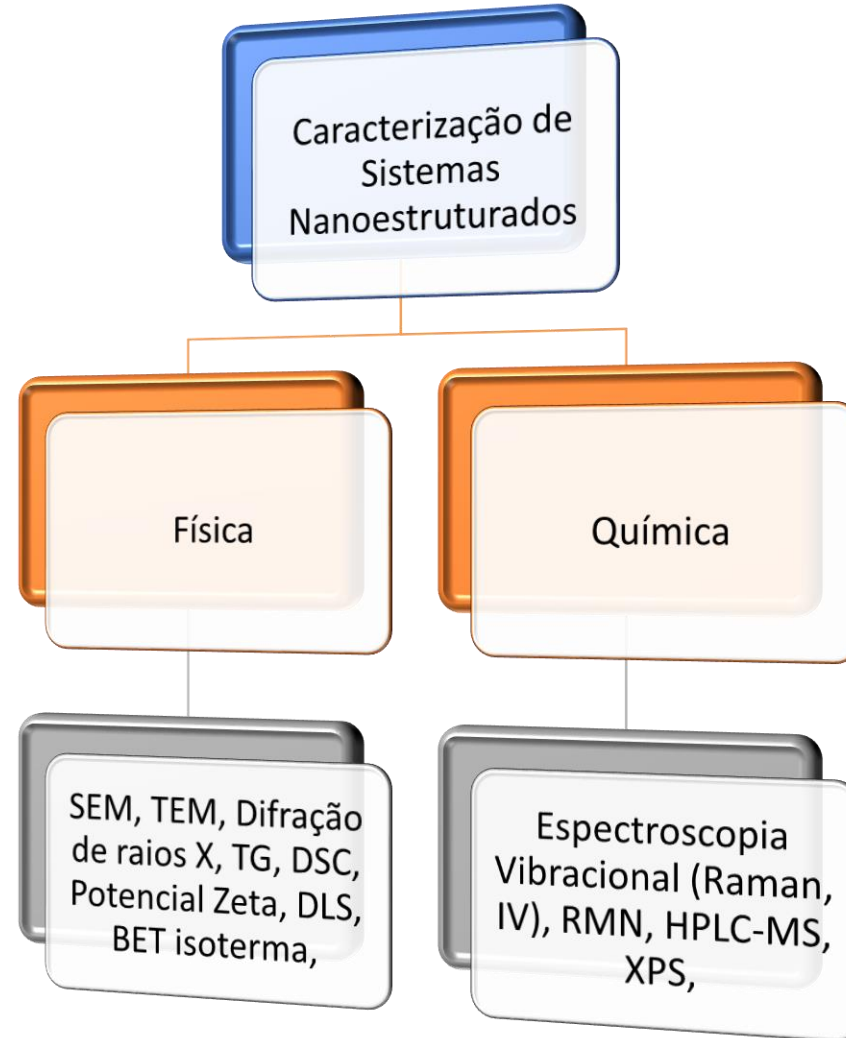
Immunosuppressant (oral)
Rapamycin (sirolimus)
as nanocrystals
formulated in tablets

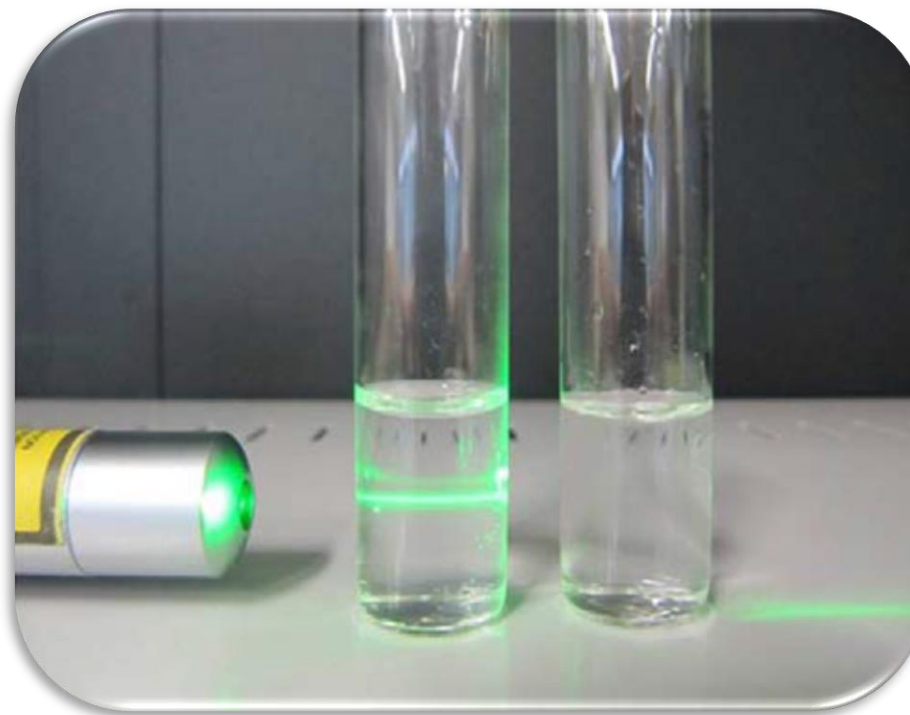
2013 **NanoTherm®**

Aminosilane-coated
superparamagnetic iron
oxide 15 nm nanoparticles

Product	Comments
Abraxane®	Nanoparticles (130 nm) formed by albumin with conjugated paclitaxel (2005)
Gendicine®	Recombinant adenovirus expressing wildtype-p53 (rAd-p53) 2003
Opaxio®	Paclitaxel covalently linked to solid nanoparticles composed of polyglutamate (Glioblastoma, 2012)







**Micelas poliméricas 20 e 50 nm
=> 30% fármaco w/w**

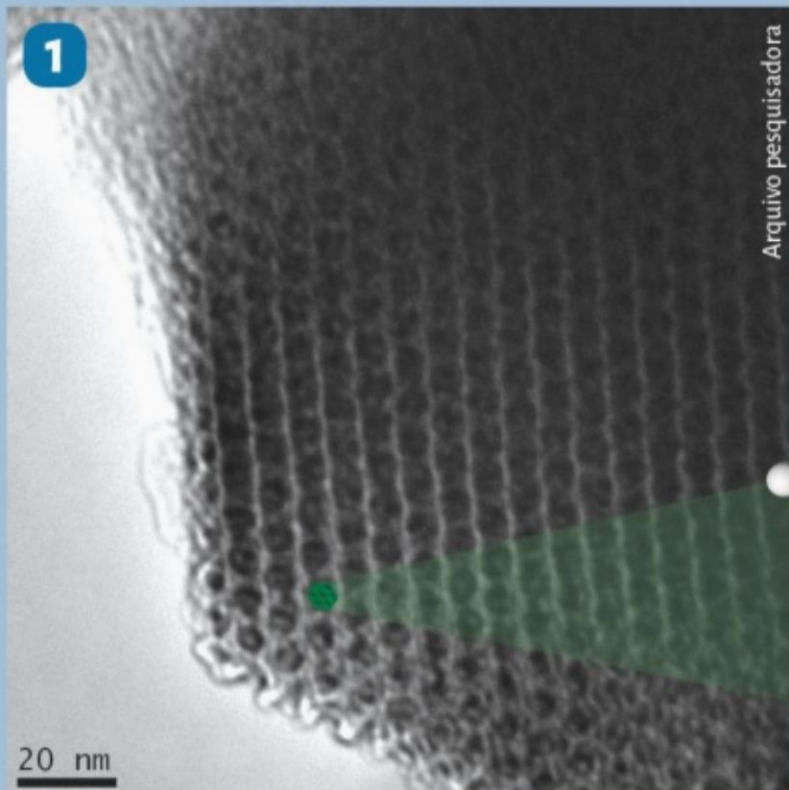
Fonte: Annales Pharmaceutiques Françaises (2011) 69, 116—123



Tyndall effect

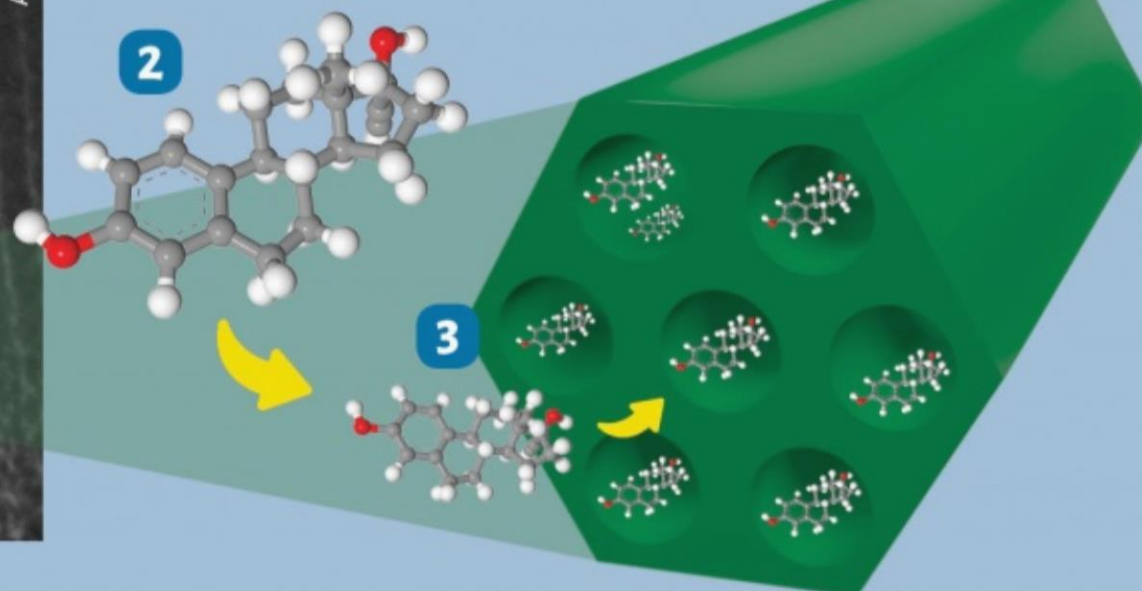


Esquema do processo de encapsulação



- 1) Imagem por microscopia eletrônica de transmissão da SBA-15
- 2) Estrutura química do etinilestradiol
- 3) Representação de sua encapsulação nos mesoporos da SBA-15

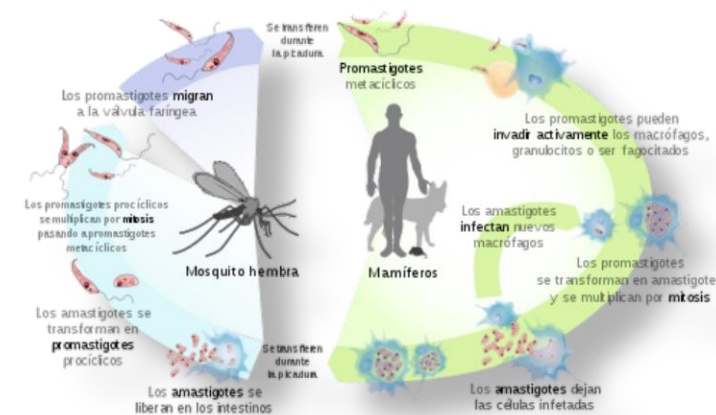
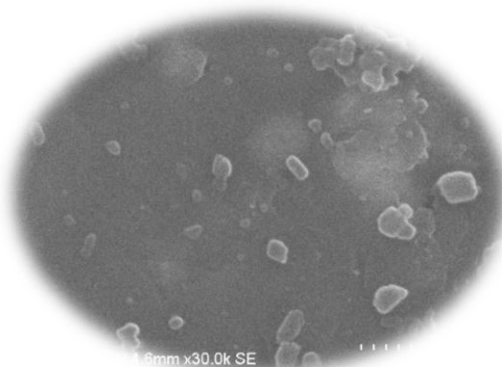
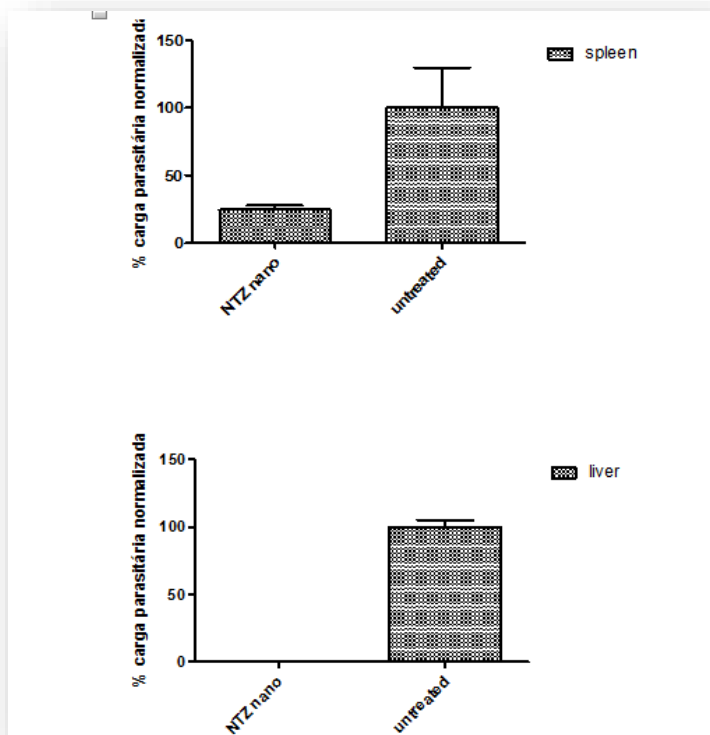
Montagem do esquema do processo: Alexandre Amormino dos Santos Gonçalves (KSU-USA)



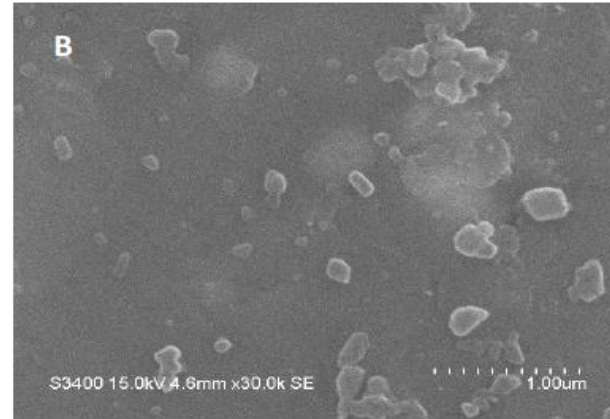
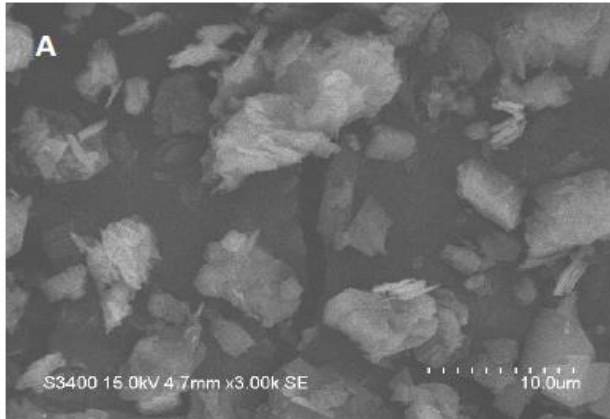
SBA-15/Etinilestradiol - Patente (BR 10 2016 0214459 - data do depósito: 16/09/2016)



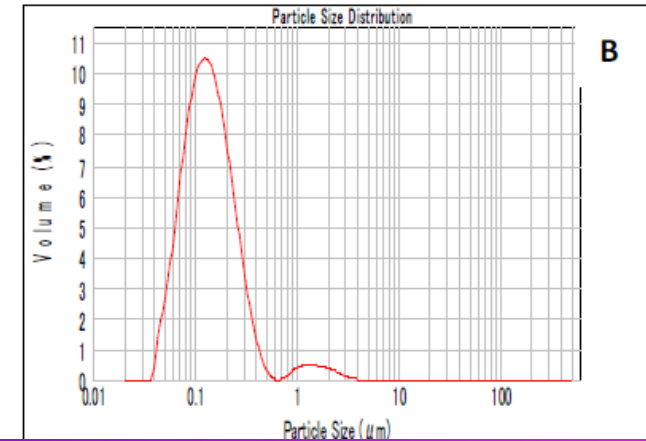
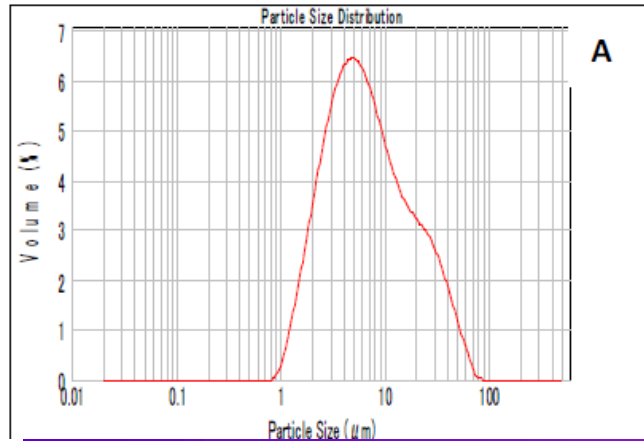
Formulações para doenças negligenciadas



Estudo pré-clínico de hamsteres infectados com *L. infantum* e tratados oralmente com a NTZ-nano a 50 mg/kg por 10 dias consecutivos. A carga parasitária foi avaliada por PCR em tempo real.

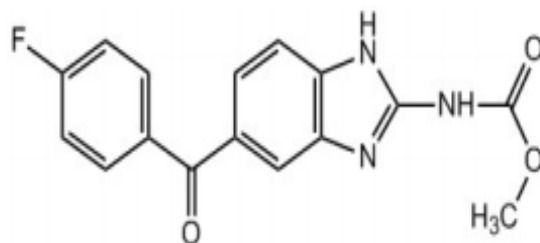


Fotomicrografias de microscopia eletrônica de varredura das partículas de nitazoxanida antes (a) e após a nanopulverização (b).





Preparation and Physicochemical Characterization of Flubendazole Nanocrystals



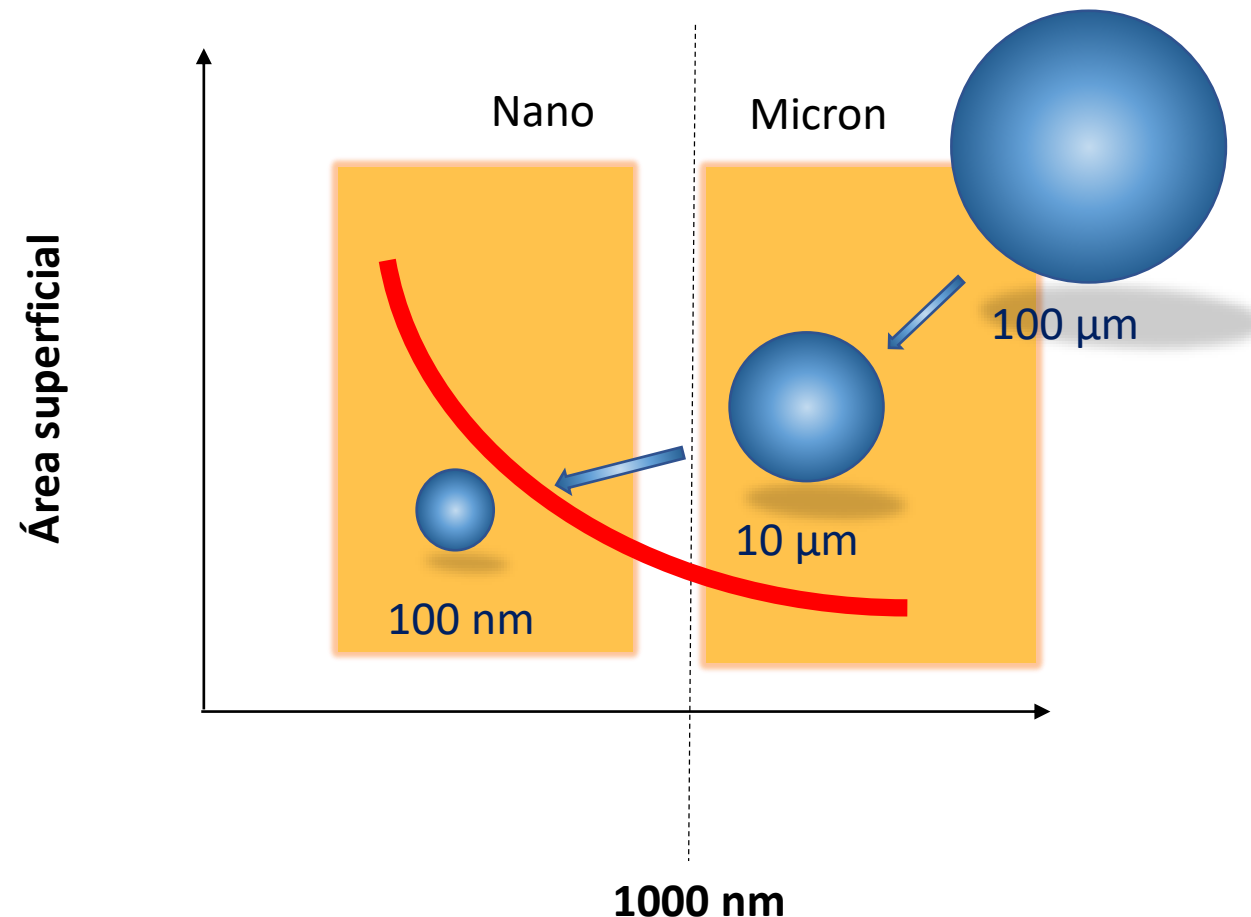
DE ARAUJO, G. L. B.; BOU-CHACRA, NÁDIA A. ; GONÇALVES, DÉBORA S. . Processo de obtenção de formulações nanocristalinas de flubendazol, formulações nanocristalinas de flubendazol e uso. 2018, Brasil.

Patente: Privilégio de Inovação. Número do registro: BR1020180170546, título: "Processo de obtenção de formulações nanocristalinas de flubendazol, formulações nanocristalinas de flubendazol e uso" , Instituição de registro: INPI - Instituto Nacional da Propriedade Industrial. Depósito: 20/08/2018



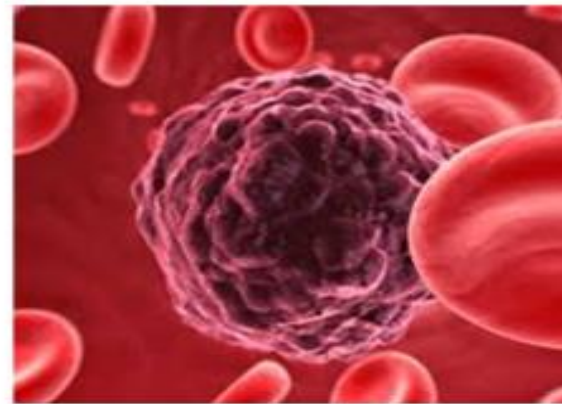
- Maior área superficial;
- Maior velocidade de saturação;
- Maior velocidade de dissolução;
- ~ 100% ativo.

1. SHEGOKAR, Ranjita; MÜLLER, Rainer H., Nanocrystals: industrially feasible multifunctional formulation technology for poorly soluble actives, International Journal of Pharmaceutics, v. 399, n. 1–2, p. 129–139, 2010.

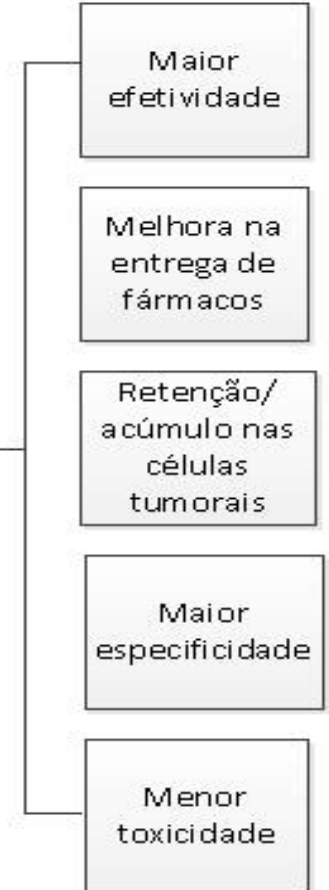




Propriedades especiais dos nanocristais em células tumorais

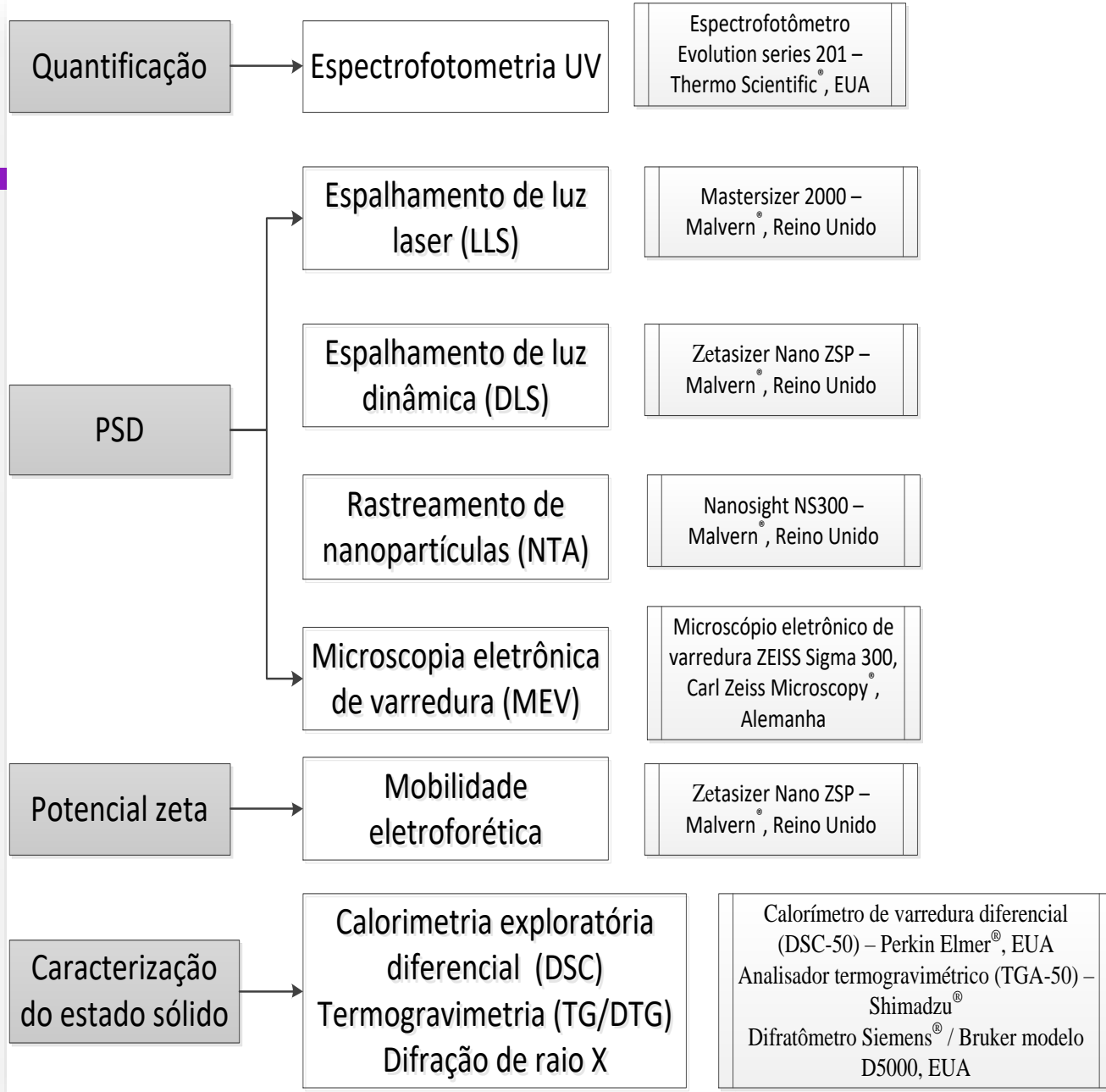


Tamanho reduzido
Geometria partícula
Carga
Característica da superfície



Fonte: Elaborado pelo autor

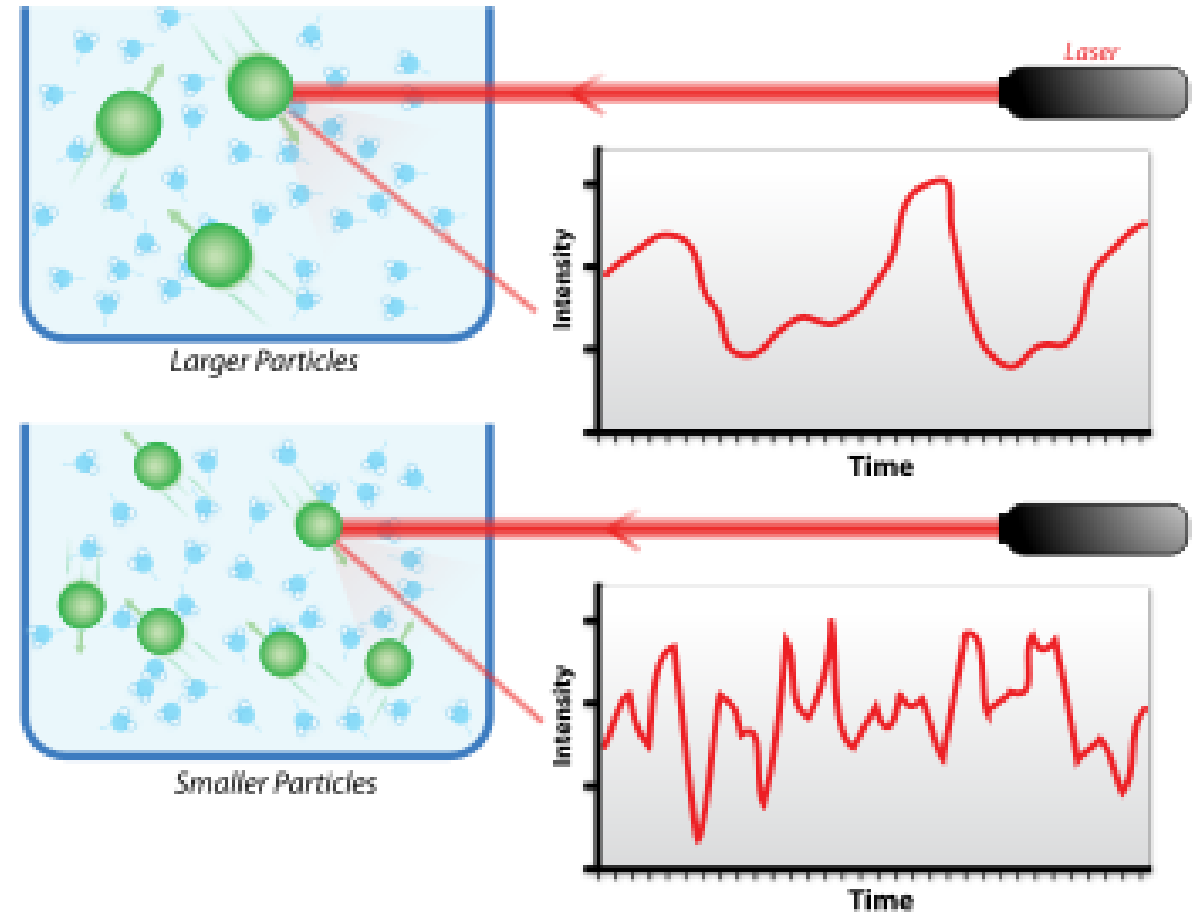
Caraterização físico-química



Fonte: Elaborado pelo autor



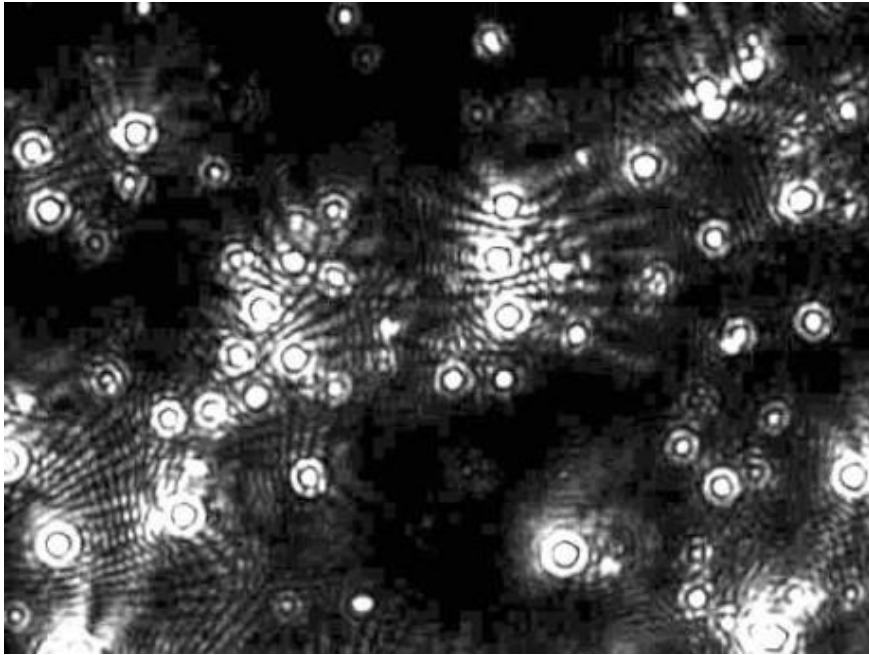
Dynamic light scattering (Photon correlation spectroscopy)

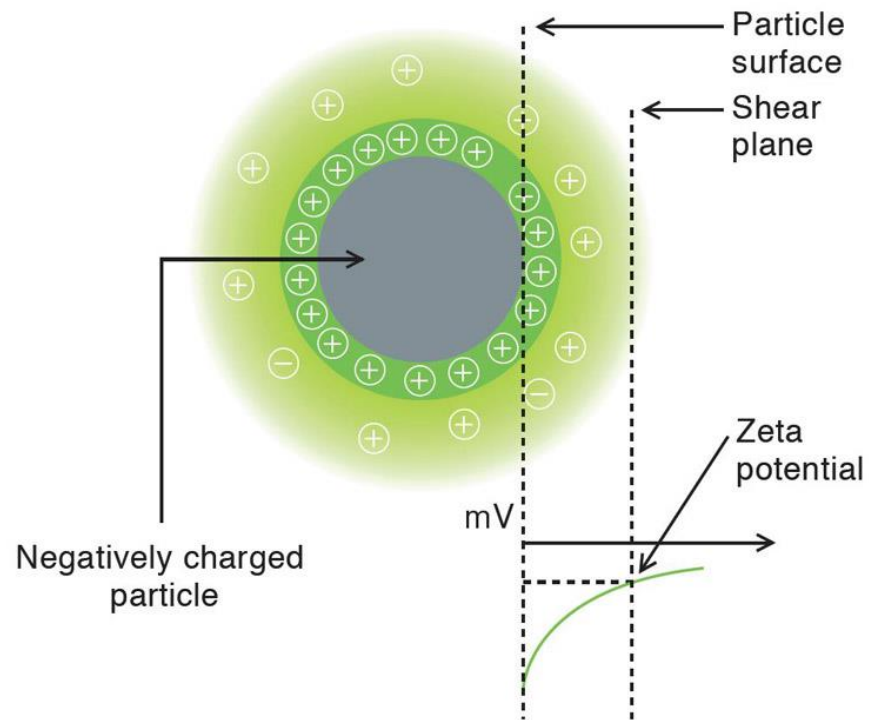


https://en.wikipedia.org/wiki/Dynamic_light_scattering



Análise de Rastreamento de Nanopartículas (NTA)

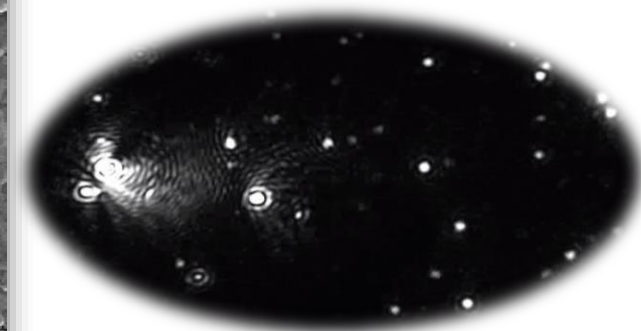
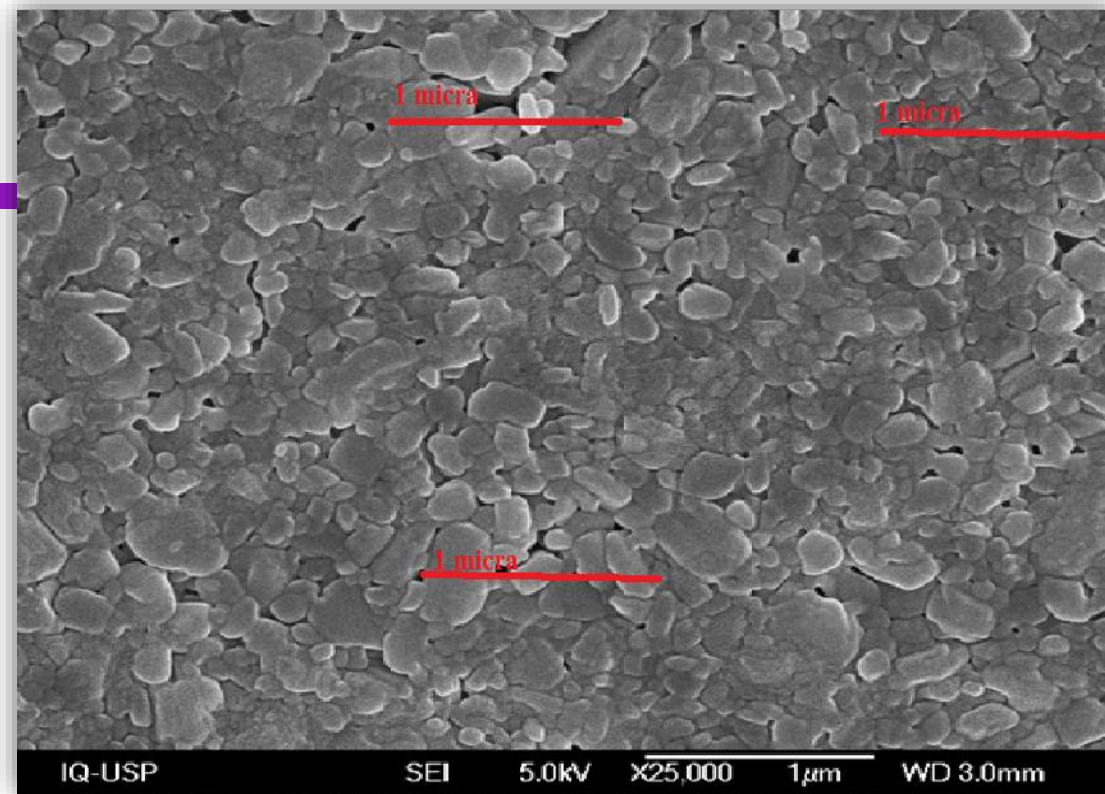




O potencial zeta é uma medida da magnitude da repulsão / atração eletrostática ou de carga entre as partículas e é um dos parâmetros fundamentais conhecidos por afetar a estabilidade.

Medida pela relação entre a mobilidade elétrica calculada e o potencial zeta

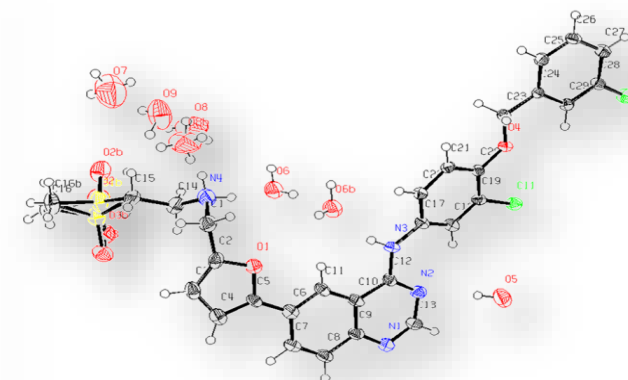
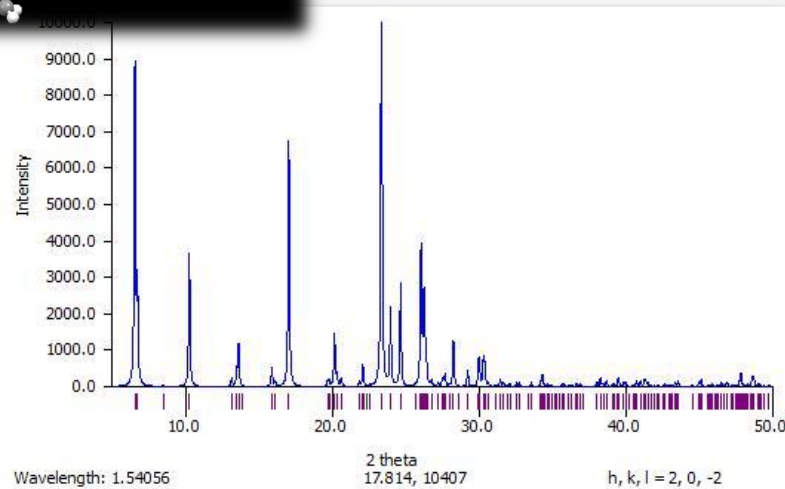
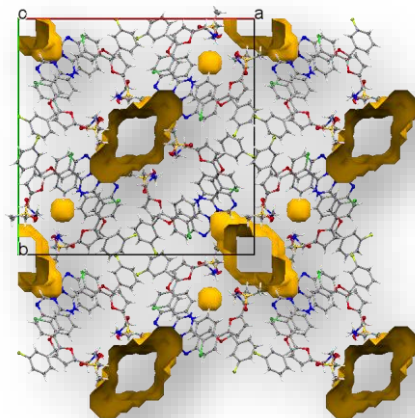
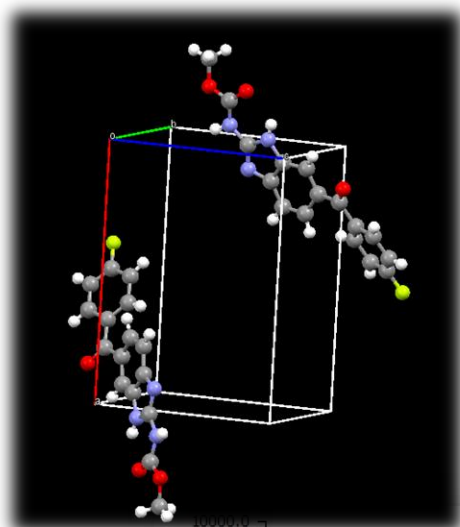
Imagem fonte: <http://laser.spbu.ru/images/photos/dzetae1.jpg>



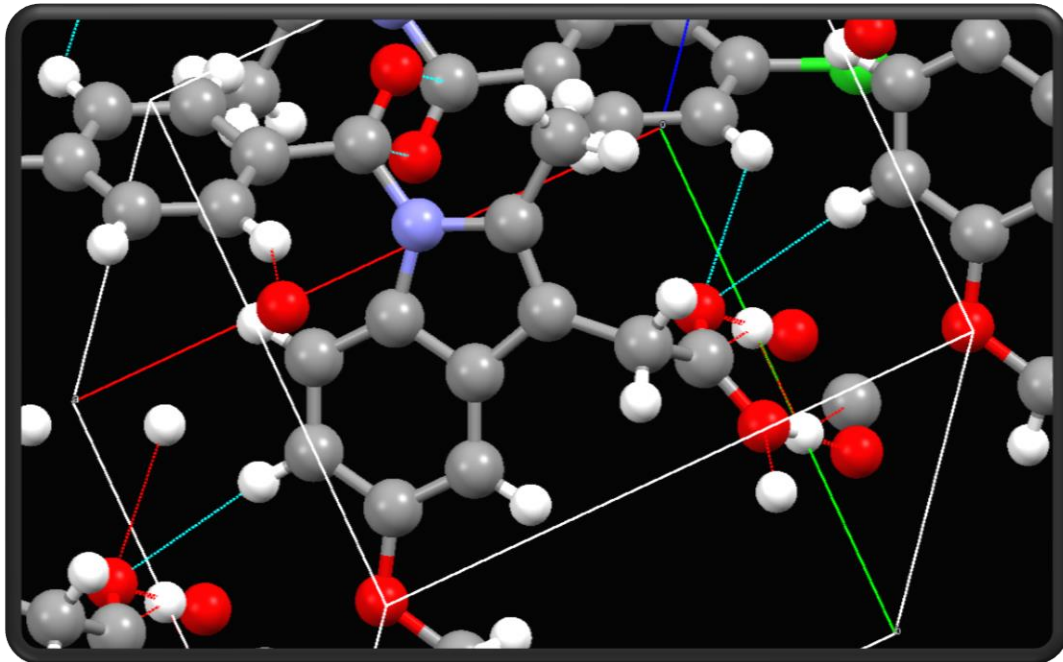
Fórmula	DHM (nm)	IP	PZ (mV)
Nanossuspensão antes da liofilização	$253,9 \pm 3,0$	$0,363 \pm 0,004$	-30,57
Nanossuspensão após a liofilização	$278,8 \pm 5,6$	$0,358 \pm 0,027$	-30,45



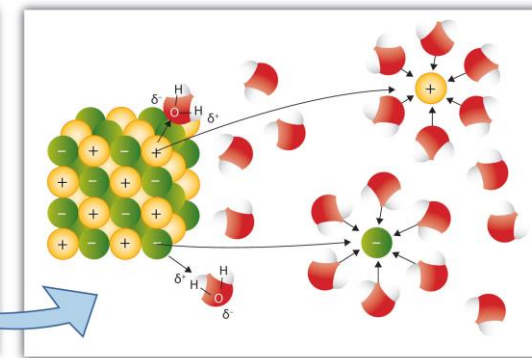
Aspectos estruturais



Calorimetria Exploratória Diferencial (DSC): Temperatura de Fusão, Transições de fase, Solubilização

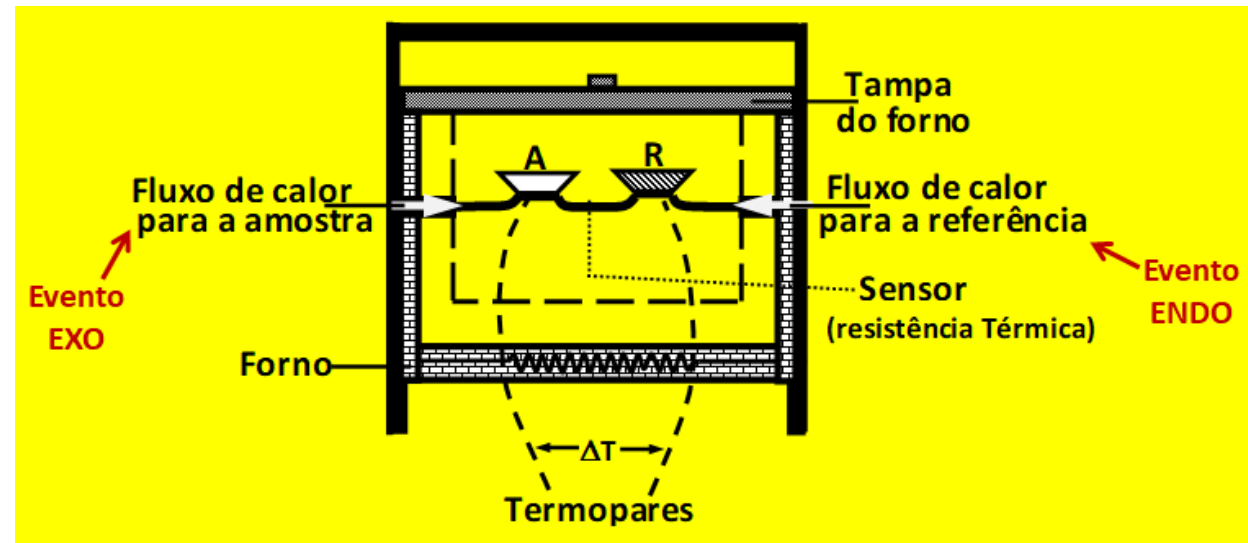
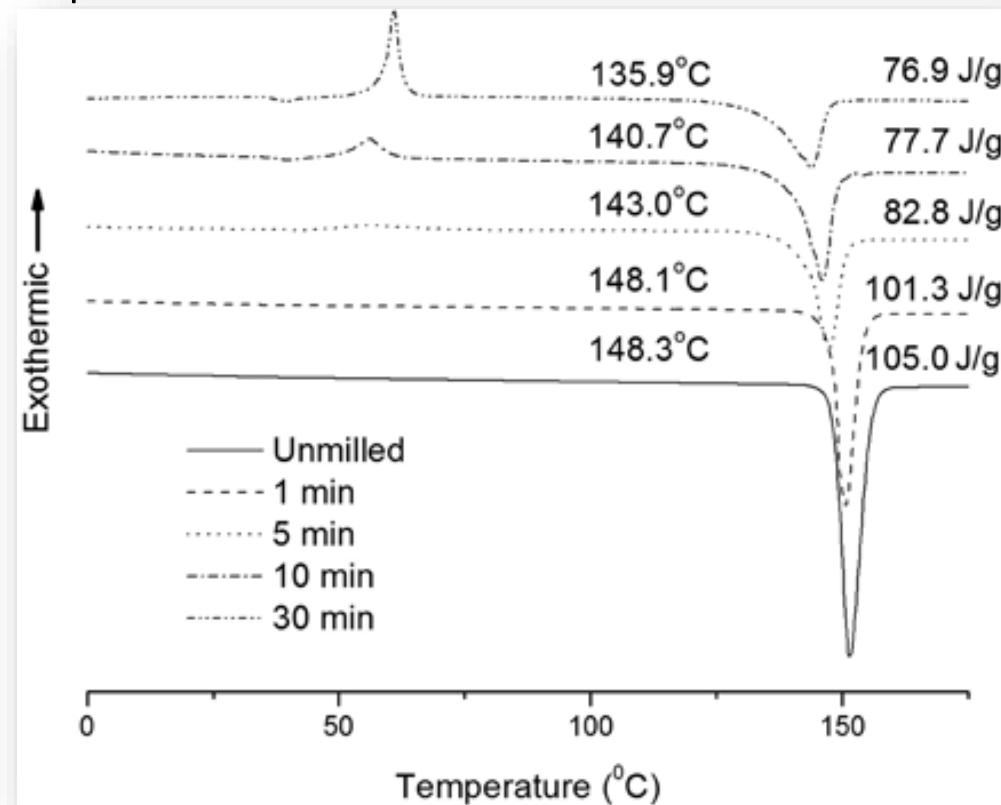


ΔH



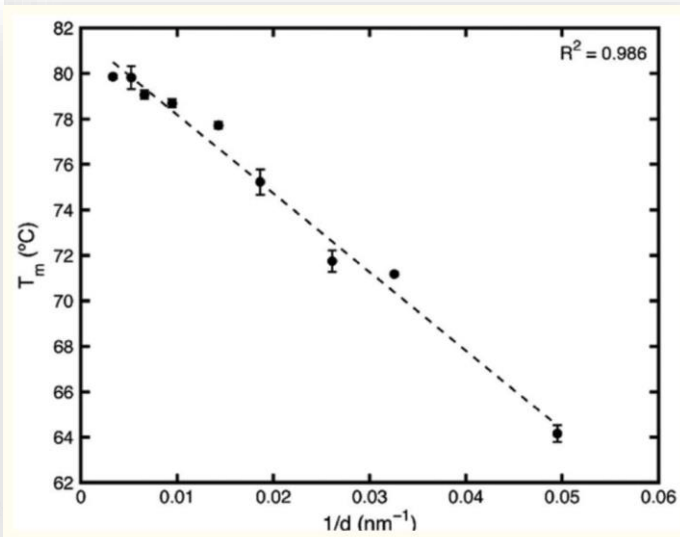
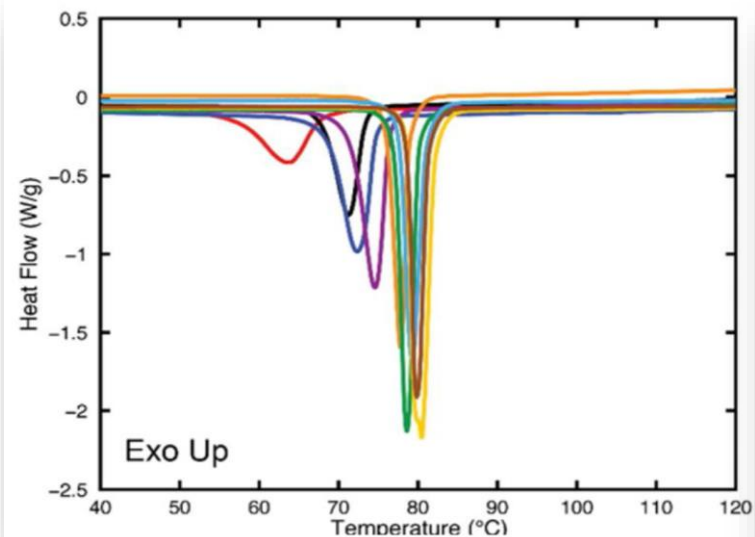


Assessment of milling-induced disorder of two pharmaceutical compounds



Differential scanning calorimetry results for ketoconazole unmilled and milled with respective T_m and ΔH_f .

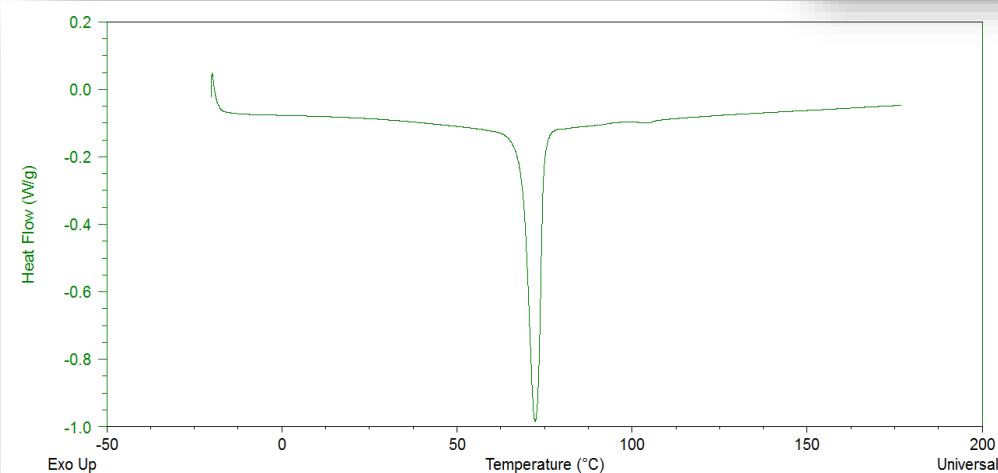
Assessment of milling-induced disorder of two pharmaceutical compounds, Volume: 100, Issue: 5, Pages: 1793-1804, First published: 16 December 2010, DOI: (10.1002/jps.22415)



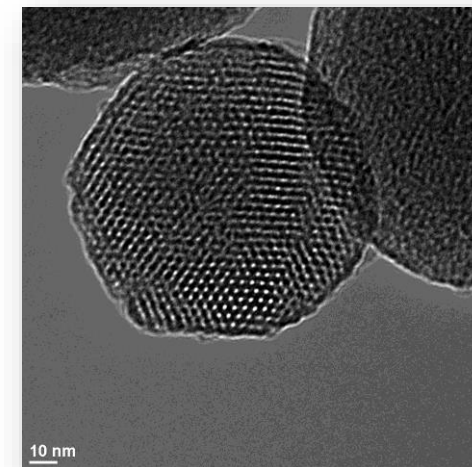
Constant enthalpy-constant surface interaction energy Gibbs-Thomson equation fit to melting points of nanocrystals confined to porous sílica

$$\Delta T_m = T_m - T_m(d) = \frac{4\gamma_{solid-liquid}MT_m}{d\Delta H_{fus}\rho_{solid}} \cos(\theta)$$

Depression in the melting point that is inversely proportional to the size

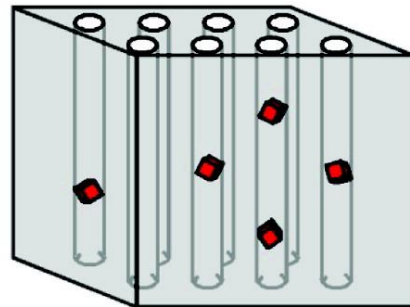
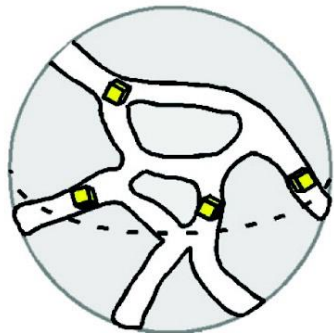
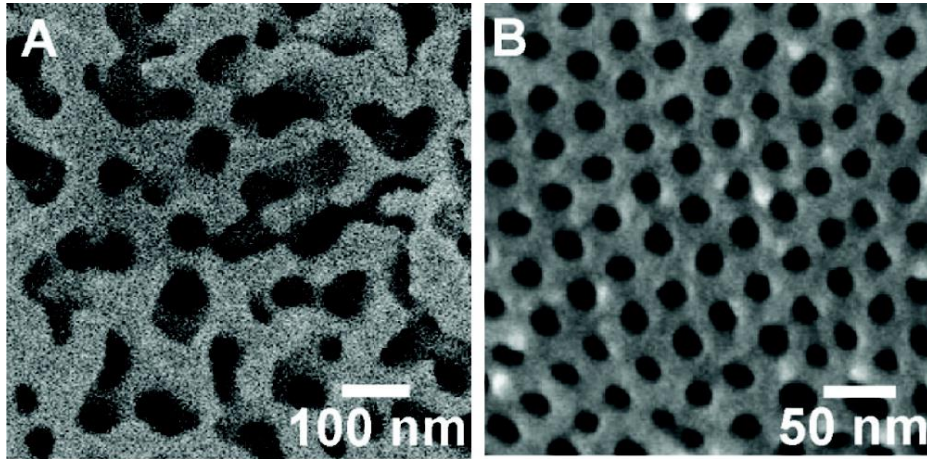


Nanocrystals





Nanocrystals



Published in: Jeong-Myeong Ha; Benjamin D. Hamilton; Marc A. Hillmyer; Michael D. Ward; *Crystal Growth & Design* **2009**, 9, 4766-4777.

DOI: 10.1021/cg9006185

Copyright © 2009 American Chemical Society



Hindawi
BioMed Research International
Volume 2017, Article ID 9781603, 11 pages
<https://doi.org/10.1155/2017/9781603>



Nanostructured Lipid Carrier

Research Article

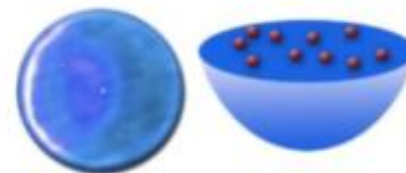
Buparvaquone Nanostructured Lipid Carrier: Development of an Affordable Delivery System for the Treatment of Leishmaniasis

Lis Marie Monteiro,¹ Raimar Löbenberg,² Paulo Cesar Cotrim,³
Gabriel Lima Barros de Araujo,¹ and Nádia Bou-Chacra¹

¹Department of Pharmacy, Faculty of Pharmaceutical Sciences, University of São Paulo, Professor Lineu Prestes Av 580, Cidade Universitária, 05508-000 São Paulo, SP, Brazil

²Faculty of Pharmacy and Pharmaceutical Sciences, University of Alberta, 8613 114th St NW, Edmonton, AB, Canada T6G 2H7

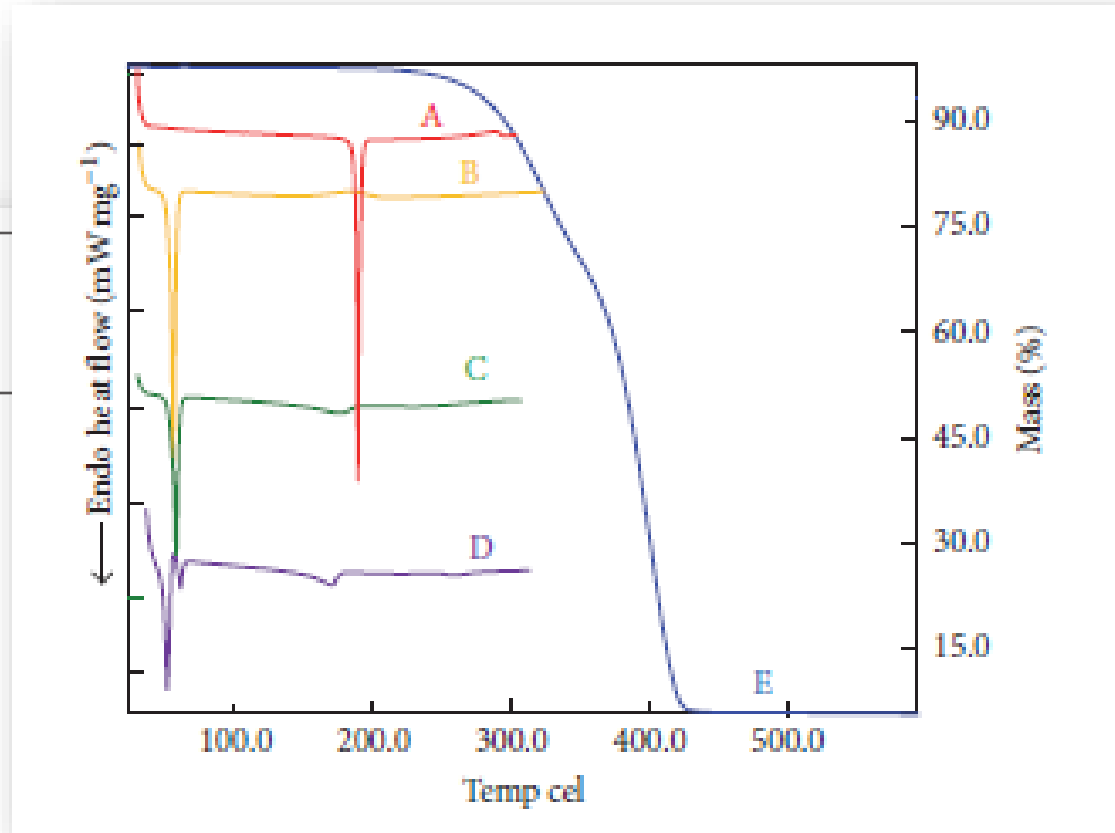
³Seroepidemiology, Cellular and Molecular Immunology Laboratory, Institute of Tropical Medicine, University of São Paulo, Dr. Enéas de Carvalho Aguiar 470, Jardim América, 05403-000 São Paulo, SP, Brazil





$$CI (\%) = \frac{\Delta H_{BPQ \text{ PM}} * D}{\Delta H_{BPQ \text{ 100\%}}} * 100$$

Lipid	ΔH_{BPQ} (J·mg ⁻¹)
Witepsol E85	136.0
Softisan 154	136.0
Gelucire 50/13	136.0
Gelucire 44/14	136.0
Precirol ATO 5	136.0
Sterotex HM	136.0
Dynsan P60	136.0
Compritol 888	136.0

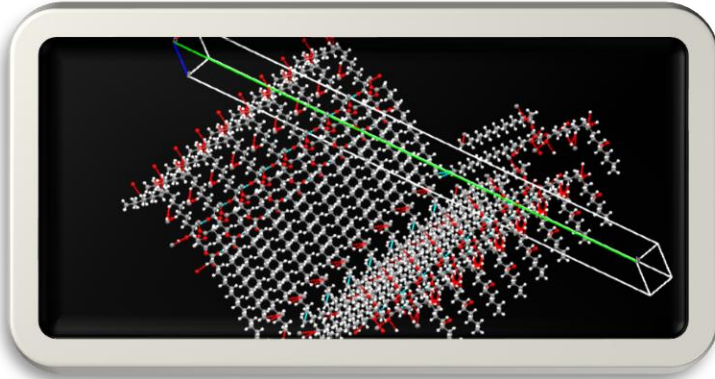


CI (%)
2nd
49.0
49.1
50.6
52.2
55.4
64.7
85.1
99.0

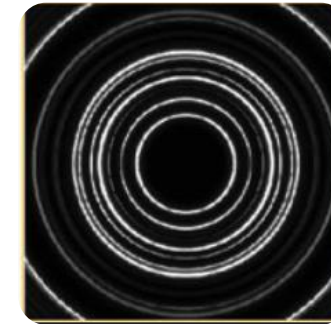
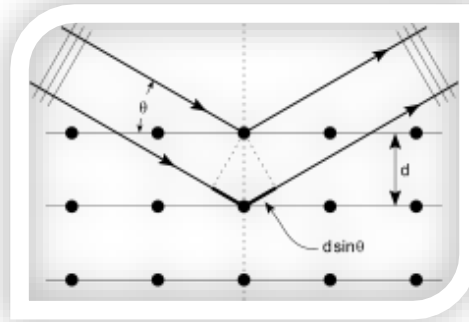
BPQ: buparvaquone; BPQ-PM: BPQ and lipid physical mixture; CI: crystallinity index = (BPQ enthalpy in lipid mixture (J·mg⁻¹) * D (proportion of BPQ and lipid)/BPQ enthalpy of fusion (J·mg⁻¹)) × 100; 1st and 2nd heating cycles.



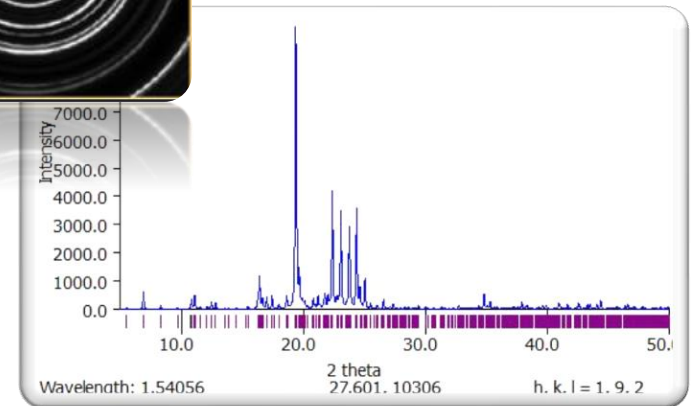
Difração de raios X



$$n\lambda = 2d \sin \theta \quad \text{Bragg's Law}$$

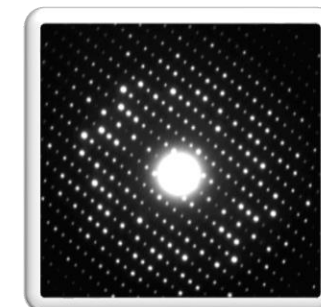
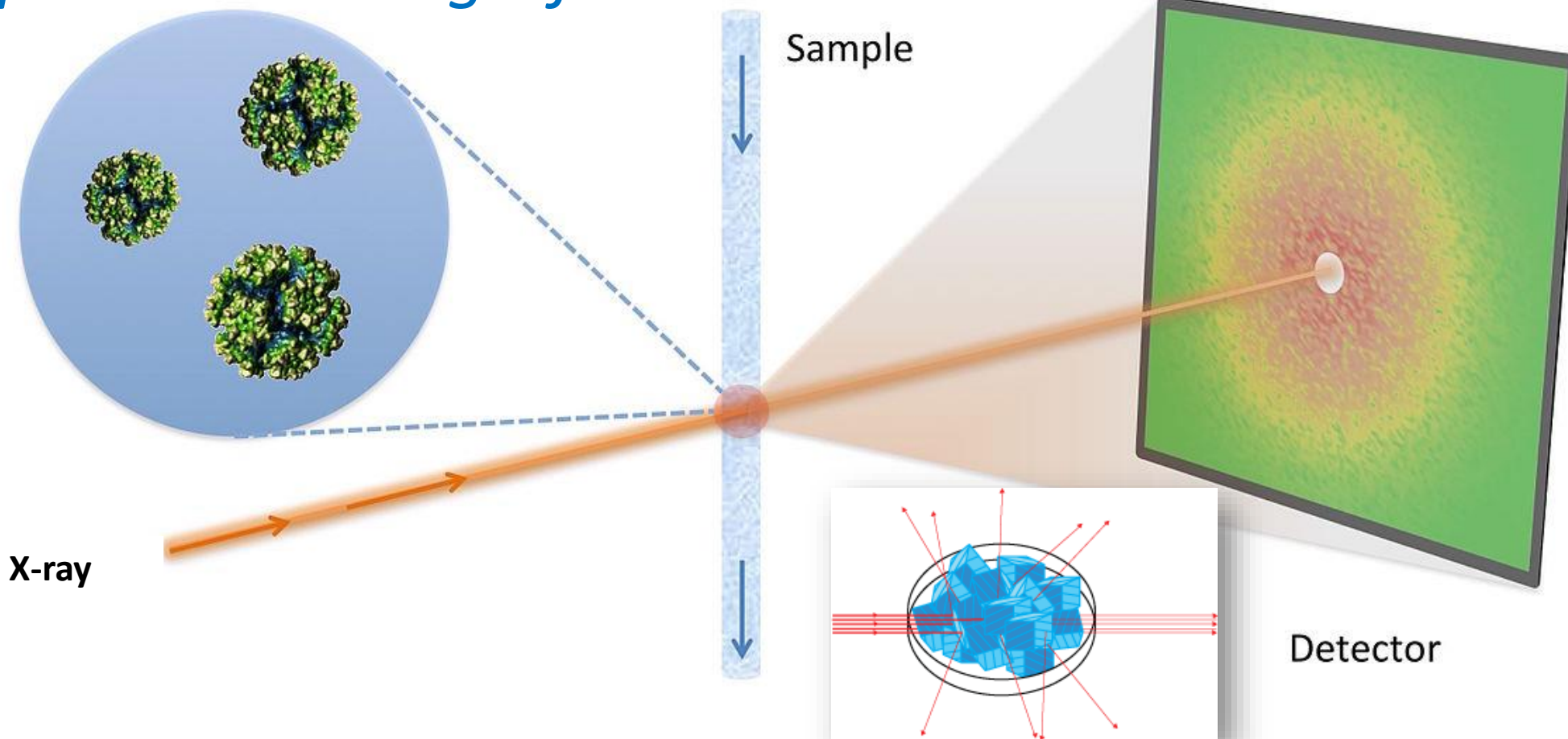


X-ray diffraction

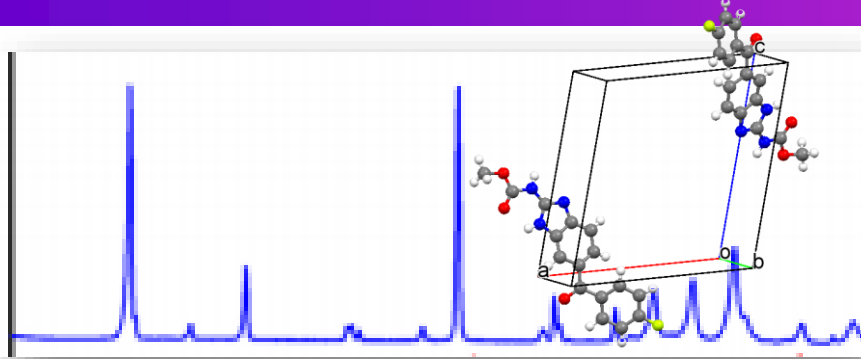




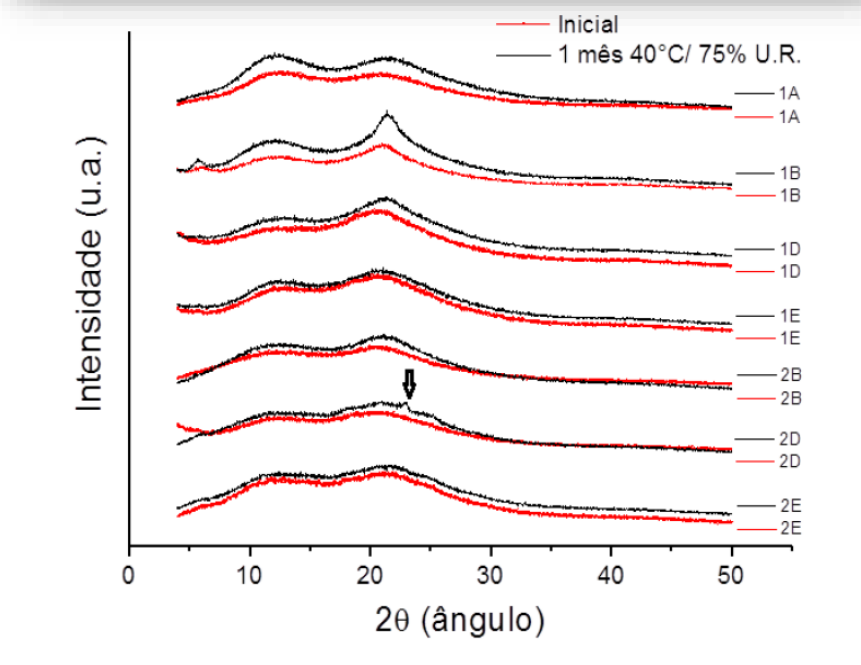
aspectos cristalográficos



Fonte de imagem: Creative Commons_licenciado em [CC BY-SA](https://creativecommons.org/licenses/by-sa/4.0/)



Long-range structure \geq
 20 \AA



Is it amorphous or
nanocrystalline?

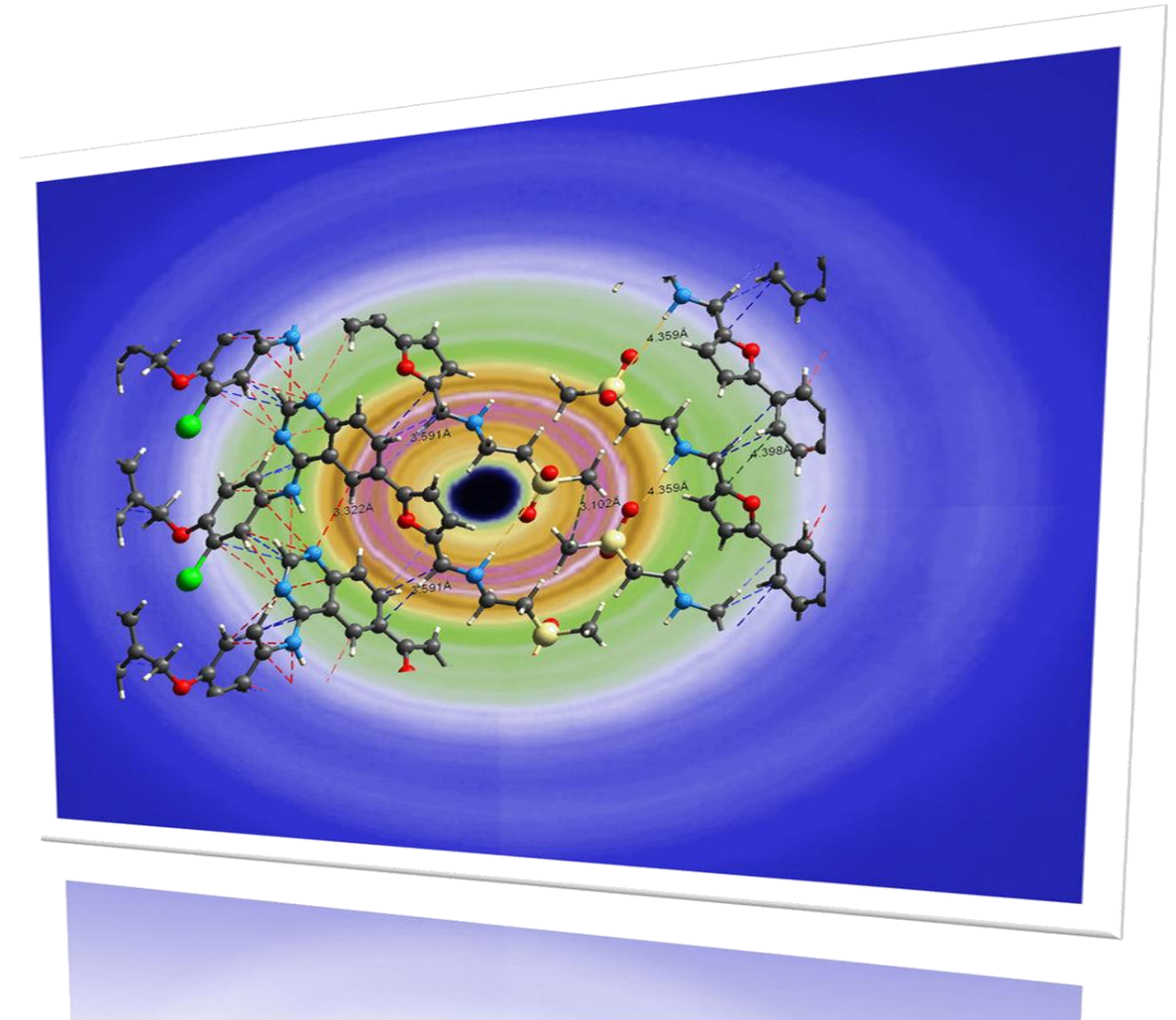
Is it a single
phase?



**Pair Distribution
Function Analysis**

High-Energy X-Ray

In amorphous systems the atoms are ordered primarily at short (2–5 Å) and medium-range (5–20 Å).



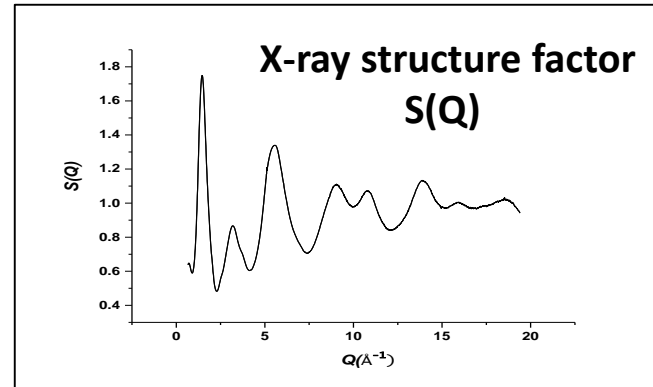
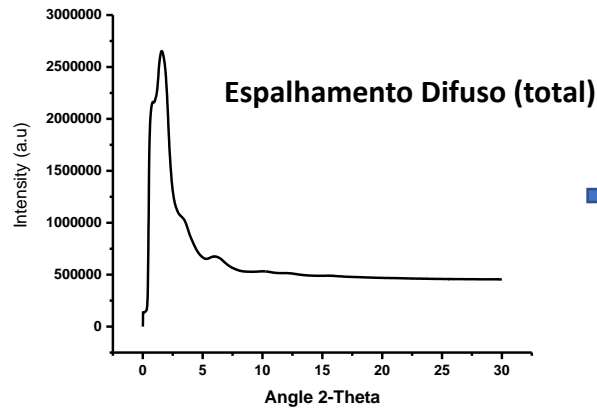


*Advanced Photon Source in Argonne National Laboratory:
One of the brightest x-ray sources in the world.*



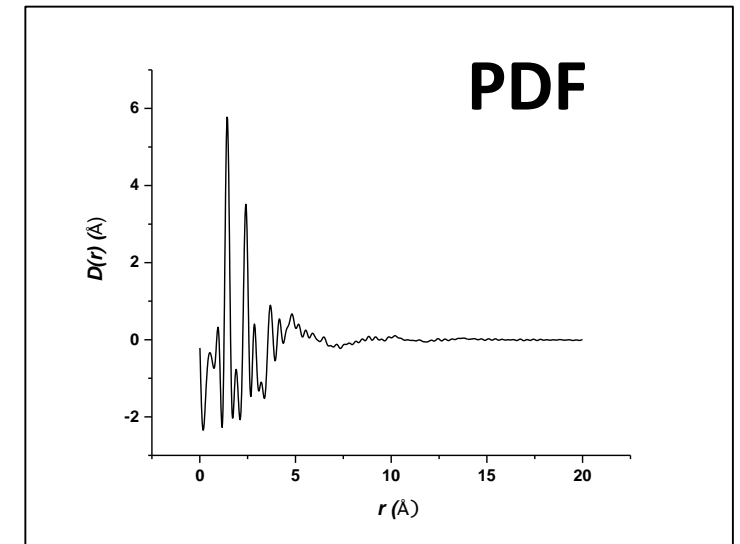
Argonne: beam of energy 100.315 keV (1.1 Km)





Sine Fourier transformation

$$D(r) = \frac{2r}{\pi} \int_0^{Q_{max}} Q^2 [S(Q) - 1] \frac{\sin Qr}{Qr} dQ$$

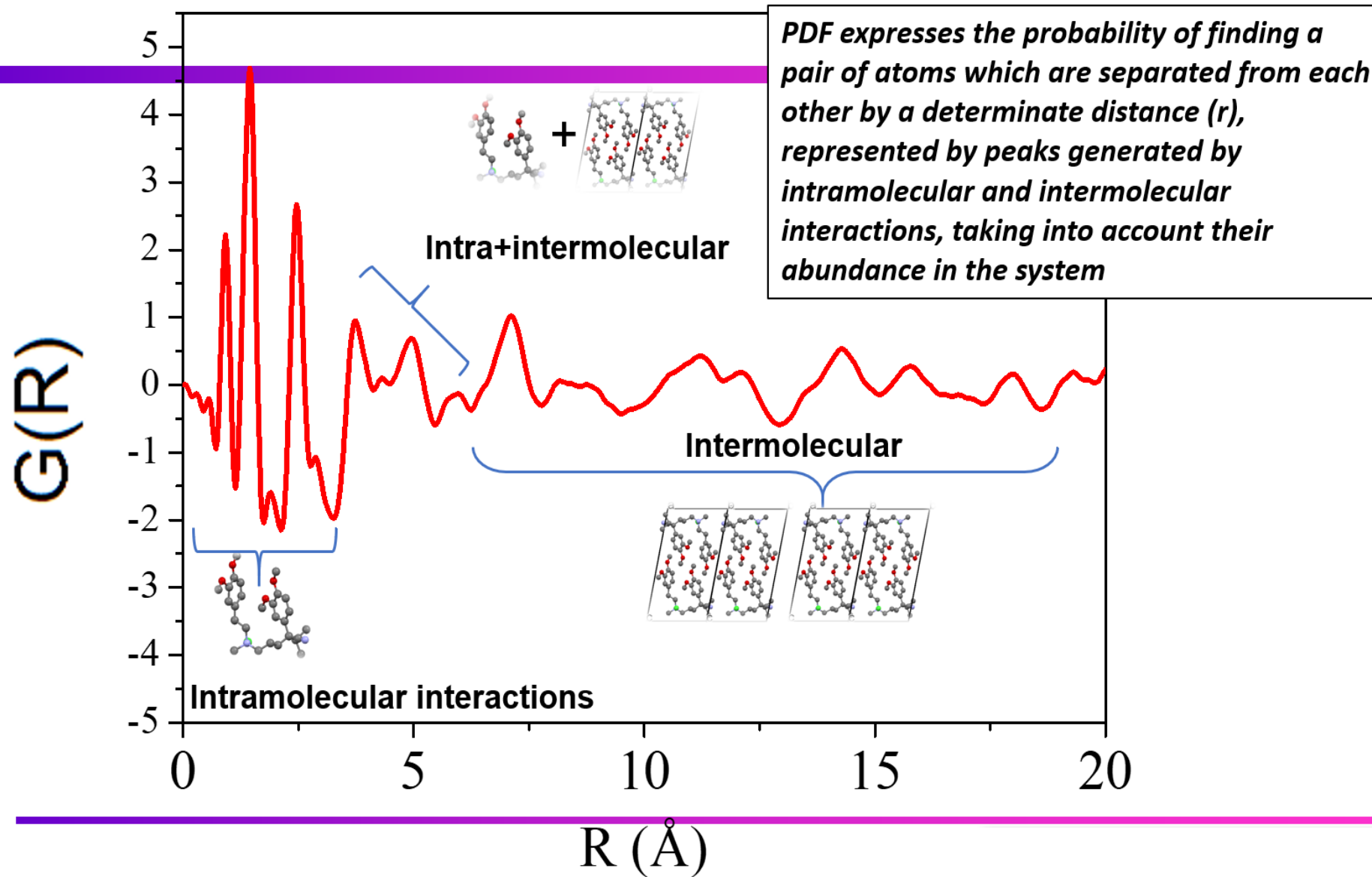


³ Keen, D. A. A comparison of various commonly used correlation functions for describing total scattering. *J. Appl. Crystallogr.* **34**, 172–177 (2001)

⁴ Susman, S., Volin, K. J., Montague, D. G. & Price, D. L. The structure of vitreous and liquid GeSe₂: a neutron diffraction study. *J. Non-Cryst. Solids* **125**, 168–180 (1990)



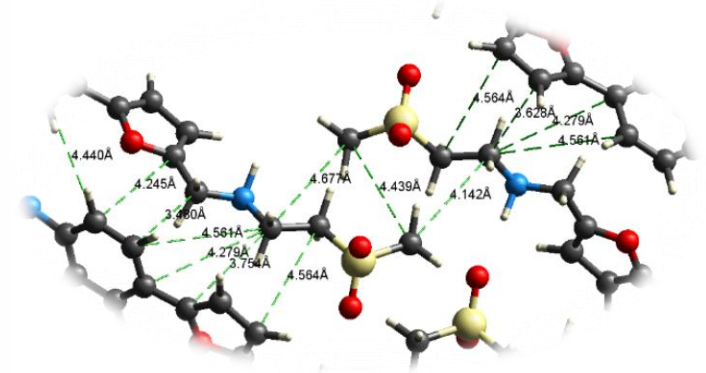
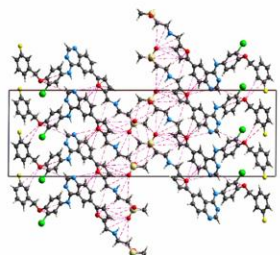
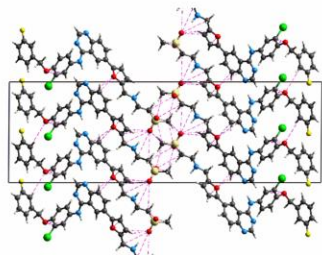
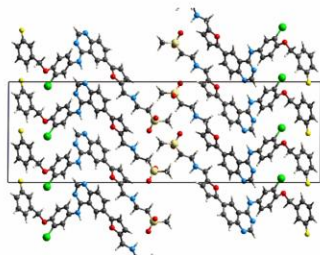
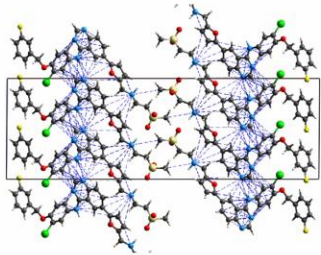
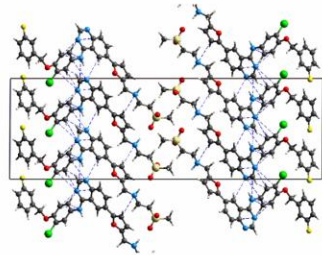
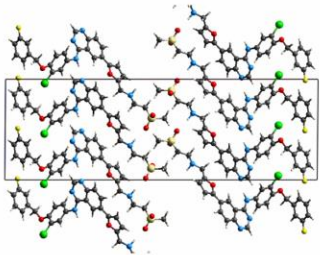
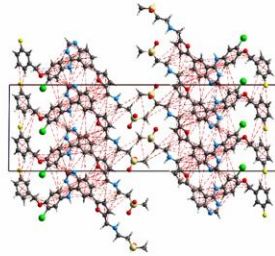
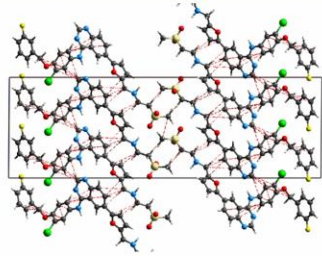
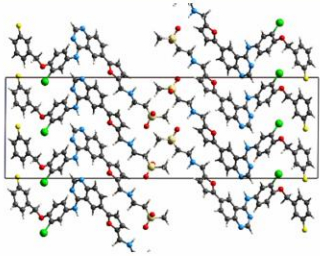
Pair Distribution Function (PDF)



3.20 Å

3.80 Å

4.60 Å

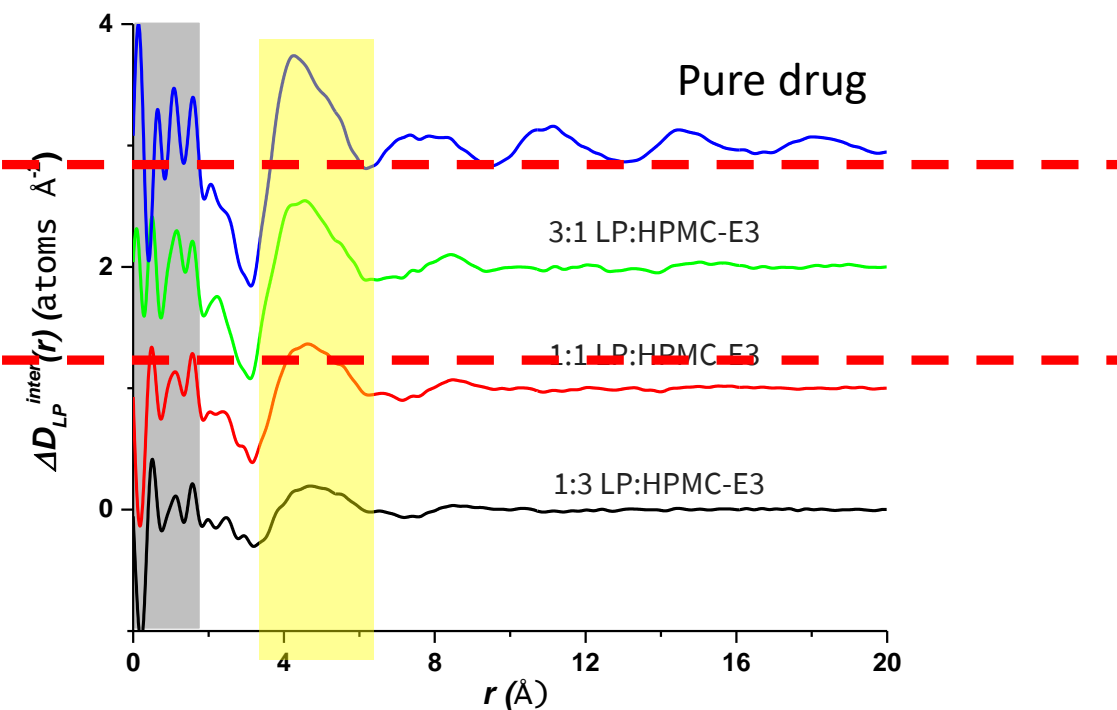
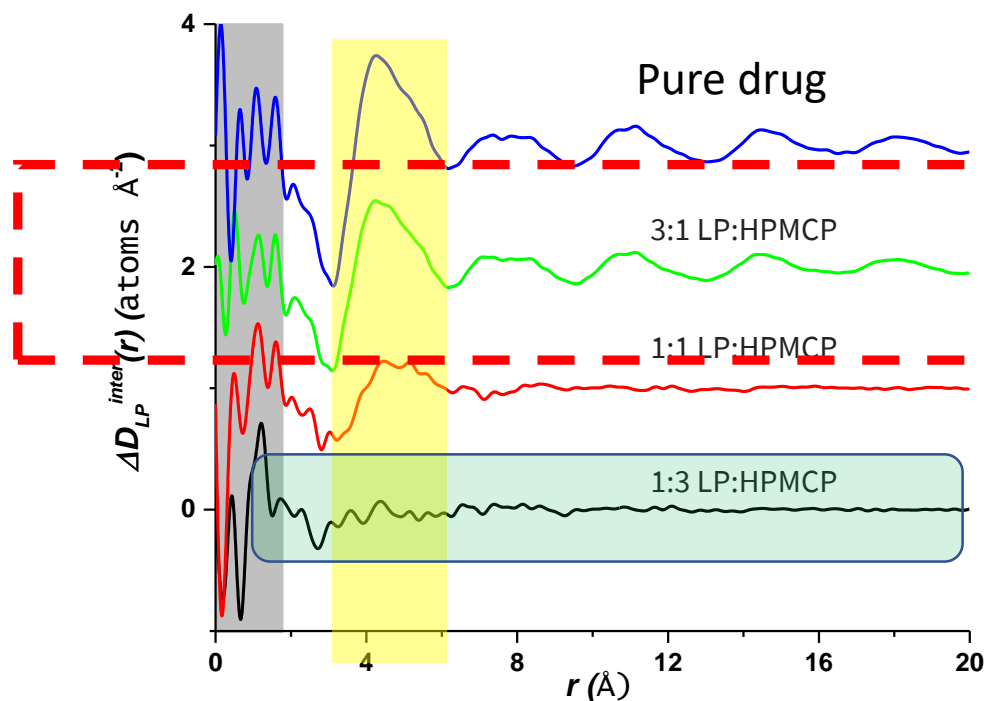


The distances and the number of nearest neighbor contacts related to C-C, C-N and C-O in drug-drug interactions in the crystal



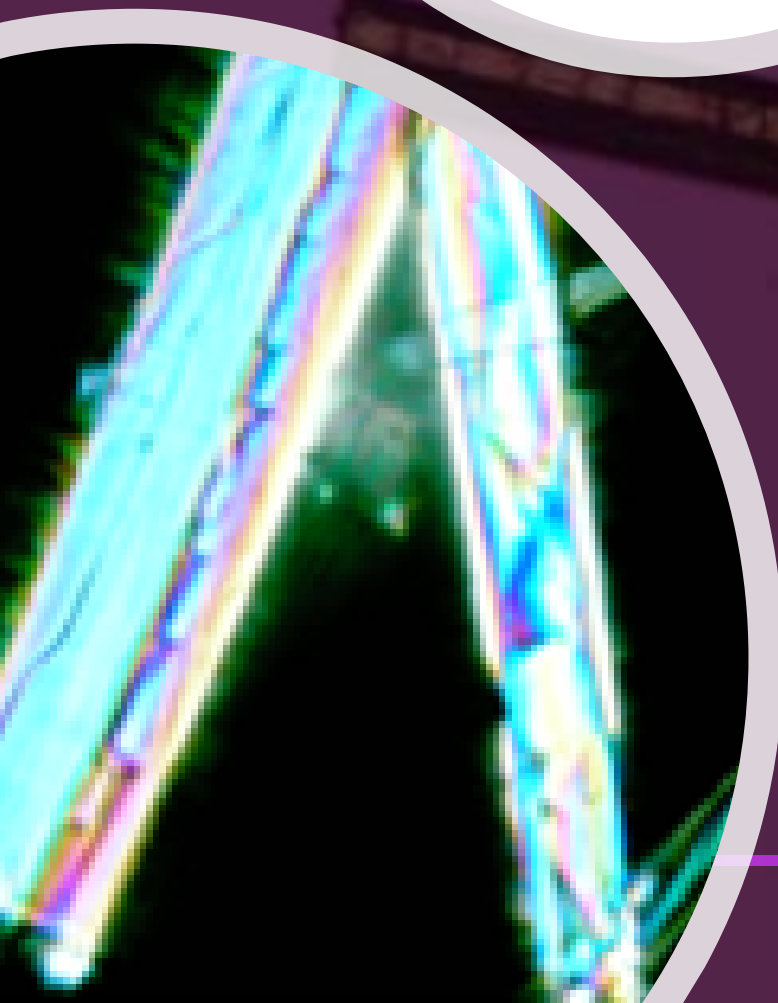
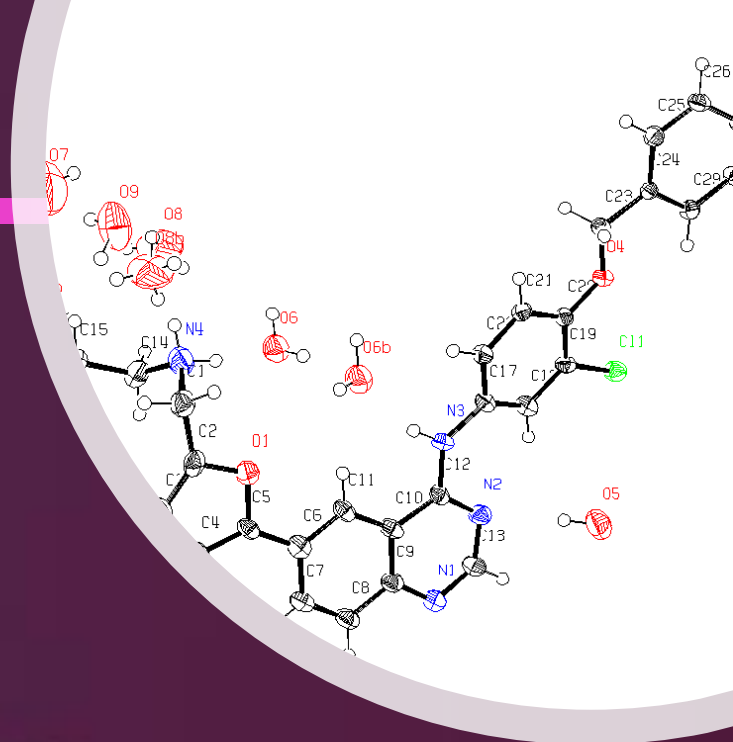
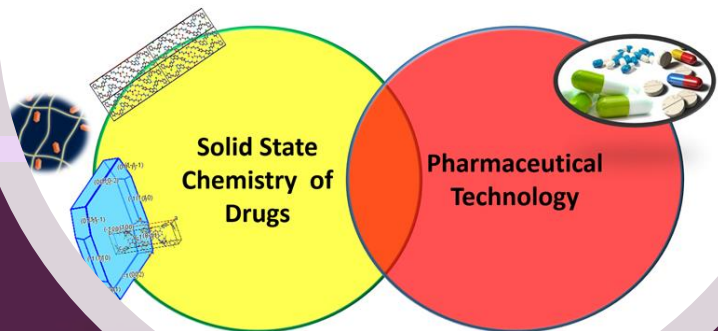
HPMCP

HPMC-E3



Total absence of those peaks in 1:3 LP:HPMCP preparations suggest that a complete reaction with the polymer has taken place.

When acid-base interaction occurs the local structure is disrupted and drug molecules are dislocated by the acidic groups of the polymer, increasing the disorder of the system.



Pharmaceutical Technology & Solid State Research Group

Prof. Gabriel Lima Barros de Araujo
Faculdade de Ciências Farmacêuticas, USP
gabriel.araujo@usp.br

Website: <https://gabriellbaraujo.wixsite.com/thegabalab>

